

مجله‌ی علمی، پژوهشی دانشگاه علوم پزشکی زنجان  
دوره‌ی ۱۸، شماره‌ی ۷۳، زمستان ۱۳۸۹، صفحات ۲۵ تا ۳۶

## بررسی تاثیر غلظت‌های مختلف $CO_2$ در بیان ژن HSP70 در قارچ‌های درماتوفیت ترایکوفایتون روبروم و میکروسپوروم کانیس

سیما داراییان<sup>۱</sup>، دکتر ساسان رضایی<sup>۲</sup>، دکتر پریوش کردبچه<sup>۳</sup>، محمد رضا صفری<sup>۴</sup>

dsima2004@yahoo.com

نویسنده‌ی مسئول: زنجان، دانشگاه علوم پزشکی، دانشکده‌ی پزشکی

دریافت: ۸۸/۱۲/۱۰ پذیرش: ۸۹/۱۰/۷

### چکیده

**زمینه و هدف:** ترایکوفایتون روبروم شایع‌ترین عامل درماتوفیتوزیس در پوست و ناخن انسان و میکروسپوروم کانیس یکی از درماتوفیت‌های مهم حیوان دوست و قابل انتقال به انسان می‌باشد و *HSP70* یک پروتئین شوک حرارتی ۷۰ کیلو دالتونی در قارچ‌ها است که در این مطالعه به بررسی تاثیر غلظت‌های مختلف  $CO_2$  در بیان این ژن در قارچ‌های مزبور پرداخته شده است.

**روشن بررسی:** نمونه‌های قارچی از تراشه‌های پوستی و ناخن بیماران مبتلا به کچلی ناخن جدا سازی و طبق روش‌های استاندارد اسپور نمونه‌های مزبور ایزوله و در محیط سابورودکستروز مایع کشت داده شده و تحت تاثیر غلظت‌های مختلف  $CO_2$  (۳، ۵ و ۱۰ درصد) در فاصله‌های زمانی ۲، ۴ و ۷ روزه و کشت‌های کنترل، بدون  $CO_2$  در فاصله زمانی ۷ روزه در دمای ثابت ۲۵ درجه سانتی‌گراد انکوبه شدند. بیان ژن *HSP70* در توده‌های میسلیومی حاصل به روش *RT-PCR* در سطح mRNA موربد بررسی قرار گرفت و نتایج به دست آمده با ژن بتا اکتین مقایسه شدند.

**یافته‌ها:** نتایج این پژوهش نشان داد که حداکثر تغییرات تحت غلظت‌های مختلف  $CO_2$  (۳، ۵ و ۱۰ درصد) در حداکثر فاصله زمانی (۷ روزه) بوده است و بیان ژن *HSP70* تحت شرایط گفته شده نشان دهنده تغییرات متفاوتی در قارچ‌های مزبور می‌باشد.

**نتیجه‌گیری:** نتایج حاصل از این مطالعه نشان داد، بیان ژن *HSP70* تحت تاثیر غلظت‌های مختلف  $CO_2$  در ترایکوفایتون روبروم نسبت به کنترل اثر کاهش دهنده‌ی (منفی) و در میکروسپوروم کانیس نسبت به کنترل اثر افزاینده‌ی (ثبت) داشته است.

**واژگان کلیدی:** درماتوفیت، ترایکوفایتون روبروم، میکروسپوروم کانیس، ژن *HSP70*

### مقدمه

مهم‌ترین و شایع‌ترین عوامل بیماری‌های قارچی جلدی بوده، در بین آن‌ها، ترایکوفایتون روبروم یکی از عوامل شایع کچلی در انسان به‌خصوص کچلی، کشاله‌ی ران، دست، پا و ناخن و میکروسپوروم کانیس از مهم‌ترین درماتوفیت‌های بیماری‌زای حیوان دوست در سگ و گربه، با ایجاد کچلی

عفونت‌های قارچی جلدی یکی از شایع‌ترین انواع میکوزها می‌باشد و در بین آن‌ها نیز درماتوفیتوزیس از شیوع بیشتری برخوردار است. درماتوفیتوزیس عفونت جلدی حاصل از قارچ‌های جلدی کراتینوفیلیکی است که تحت نام کلی درماتوفیت شناخته می‌شوند (۱-۳). درماتوفیت‌ها، از

۱- کارشناس ارشد قارچ شناسی پزشکی، عضو هیئت علمی دانشگاه علوم پزشکی زنجان

۲- دکترای تحصصی قارچ شناسی پزشکی، دانشیار دانشگاه علوم پزشکی تهران

۳- دکترای تحصصی قارچ شناسی پزشکی، استاد دانشگاه علوم پزشکی تهران

۴- کارشناس علوم آزمایشگاهی، دانشگاه علوم پزشکی تهران

دارد و از آنجایی که  $\text{CO}_2$  نیز یکی از فاکتورهای مهم و حیاتی سلول‌ها می‌باشد، این مطالعه و نتایج حاصل از آن می‌تواند علاوه بر بررسی هدف اصلی یعنی بررسی تأثیر غلظت‌های مختلف  $\text{CO}_2$  در بیان ژن HSP70 در قارچ‌های درماتوفیت تراکیوفایتون روبروم و میکروسپوروم کانیس ایزوله شده از بیماران، زیر بنایی برای تحقیقات بعدی در زمینه‌ی نقش HSPs و دستیابی بر اطلاعات و دانش بیشتر برای سنجش عملکرد  $\text{CO}_2$  در فیزیولوژی و پاتوژن قارچ‌های درماتوفیت و نحوه‌ی عملکرد آن‌ها باشد.

### روش بررسی

تهیه‌ی کشت انبوه از قارچ‌ها: در این مطالعه‌ی تجربی (Experimental) برای تهیه‌ی کشت قارچ‌های تراکیوفایتون (*M. Canis*) روبروم (*T. Rubrum*) و میکروسپوروم کانیس (*M. Canis*) از نمونه‌های جدا شده از بیماران مراجعه کننده به بخش قارچ‌شناسی پزشکی دانشکده‌ی بهداشت دانشگاه علوم پزشکی تهران استفاده شد. نمونه‌ی تراشه‌های پوستی و ناخن جدا شده از بیماران در محیط‌های سابورودکستروزآگار ساده (SDA) مرك آلمان) و سابورودکستروزآگار حاوی سیکلوهگزامید (۵۰۰ میلی‌گرم در لیتر) و کلرامفینیکل (۴۰ میلی‌گرم در لیتر) (SCC) در پلیت یکبار مصرف و لوله‌های آزمایش شیشه‌ای به صورت نشکاری کشت داده شده، و به مدت یک هفته در ۲۵ درجه‌ی سانتی‌گراد انکوبه شدند. سپس پلیت‌ها و لوله‌ها از نظر ظاهر بینی (ماکروسکوپی) بررسی شده، جهت مطالعه‌ی ریز بینی (ماکروسکوپی)، با روش اسالید کالچر (کشت روی لام) لام تهیه شد. جهت بررسی اسالید کالچرها، لام‌های روی ژلوزها را با استفاده از پنس استریل برداشته و بر روی لام‌های تمیز حاوی یک قطره لاکتوفنل کاتن بلو گذاشته، همچنین ژلوزهای حاوی قارچ‌ها از روی لام‌ها توسط پنس برداشته، به لام‌ها یک قطره لاکتوفنل کاتن بلو اضافه شده، روی آن‌ها یک لام تمیز قرار گرفته،

(Ring Worm) و قابل انتقال به انسان با ایجاد کچلی سر (Tinea Corporis) و کچلی بدن (Tinea Capitis) کچلی ناخن (Tinea Unguium) یکی از فاکتورهای مهم اکولوژیکی بوده که نقش حیاتی در واکنش‌های وابسته به تنفس، فتوسترات و پاتوژن سلول‌های قارچی و باکتریایی دارد. میزان  $\text{CO}_2$  در اتمسفر هوا حدود (۰۰۳۶ درصد) و غلظت آن در بدن پستانداران نزدیک به (۵ درصد) می‌باشد (۷-۱۱). از آنجایی که همه‌ی موجودات در برخورد با عوامل استرس زا باید بتوانند برای حفظ بقای خود به نوعی، مقاومت کنند، بسیاری از موجودات در برخورد با این استرس‌ها به ویژه استرس‌های حرارتی، پروتئین‌هایی موسوم به پروتئین‌های شوک حرارتی (HSPs) تولید می‌کنند. این پروتئین‌ها در شکل‌گیری، انتقال، خمیدگی (Folding) و حفظ ویژگی‌های پروتئین‌ها در زمان بروز شوک‌ها و استرس‌های محیطی نقش بسیار مهمی دارند (۱۲ و ۱۳). توالی نوکلئوتیدی ژن‌های کد HSP70 در تراکیوفایتون روبروم (Tri Chophyton Rubrum) و میکروسپوروم کانیس (*Microsporum Canis*) مشخص شده است. مطالعات انجام شده نشان داده است که تحت استرس‌های محیطی مانند افزایش دما و اشعه‌ی ماورای بنسن‌B، بیان ژن مزبور افزایش یافته، منجر به سنتز پروتئین شوک حرارتی و ایجاد مقاومت در سلول‌های قارچ‌های مزبور می‌شود (۱۴-۱۶). با وجود بررسی‌های متعدد در رابطه با نقش حیاتی  $\text{CO}_2$  در توده‌های زنده‌ی میکروبی و سلول‌های قارچی و پاتوژن آن‌ها و با توجه به نقش مهم مولکول‌های گرمایی (HSPs) به عنوان یک عامل مقاومت سلولی در برابر شوک‌های ذکر شده، ولی هنوز شواهدی از تأثیر غلظت‌های مختلف  $\text{CO}_2$  در بیان ژن مزبور در قارچ‌ها در دسترس نمی‌باشد (۷ و ۱۰، ۱۷). لذا با وجود گسترش جهانی عفونت با این قارچ‌ها، اطلاعات مولکولی اندکی در مورد آن‌ها وجود

محلول رویی جدا و به آن ایزوپروپانل اضافه گردید. به مدت یک ساعت در ۲۰- درجه‌ی سانتی‌گراد فریز شدند، سپس محلول رویی خالی و به رسوب باقی مانده مجدداً بافر گوانیدین ایزوتوپیوسیانات و ایزوپروپرلنل اضافه گردید. مخلوط حاصل یک ساعت در ۲۰- درجه‌ی سانتی‌گراد فریز شد. پس از ۵ دقیقه سانتریفوژ نهایی، محلول رویی خالی و رسوب حاصل با الكل ۱۰۰ درصد شستشو و بعد خشک شدند. در نهایت رسوب RNA های حاصله در بافر داغ تریس EDTA (TE8) حل گردید. جهت اطمینان از نتیجه‌ی استخراج صحیح از محلول‌های حاصله، روی ژل آکارز ۱ درصد حاوی اتیدیوم بروماید، الکتروفورز انجام گردید.

**ساخت cDNA (cDNA مکمل)** برای تکثیر بخش‌های RT-PCR مختلف ژن و بررسی بیان ژن HSP70 واکنش کیفی انجام شد. این واکنش شامل دو مرحله می‌باشد: در مرحله‌ی اول از روی RNA های Tam، cDNA های مربوطه ساخته شد، که برای این منظور از کیت سنتز cDNA با مشخصات (RevertAid<sup>TM</sup> First Strand cDNA Synthesis Kit # K1621) از شرکت Fermentas استفاده شده، cDNA های مزبور برای استفاده‌ی بعدی در ۲۰- درجه‌ی سانتی‌گراد نگهداری شدند. در مرحله‌ی دوم توسط پرایمرهای طراحی شده، قسمت‌های مختلف cDNA تکثیر گردید. البته قبل از انجام مرحله‌ی دوم از cDNA نمونه‌های قارچی T.Ruberum, M.Canis غلظت‌های یکسان بر حسب RT-PCR میکرولیتر تهیه گردید تا از نظر کنترل بیان ژن در RT-PCR دو واکنش یکسانی از cDNA در حجم ۵۰ میکرولیتر ساخته شد. این واکنش شامل ۵ میکرولیتر از بافر X<sup>10</sup> و ۲ میکرولیتر کلریدمنیزیم به همراه ۲/۵ میکرولیتر از جفت پرایمرهای اختصاصی سنتز و ضد سنتز با توالی:

Sense: 5`ATGGCTCCCGCAGTTGGTATC3`  
Antisense: 3`CACCTCCATCACCCGTGCTCG5`

سپس از نظر میکروسکوپی مطالعه شدند. بعد از حصول اطمینان از جداسازی قارچ‌های مذکور جهت جمع آوری اسپور نمونه‌ها در چند پلیت حاوی محیط کشت SCC به صورت نشاکاری مجدداً کشت داده شدند.

**محیط و شرایط کشت CO<sub>2</sub>** دار: اسپور نمونه‌های قارچی M.Canis و T.Ruberum جدا سازی شده از تراشه‌های پوستی و ناخن بیماران مبتلا طبق روش گفته شده در بالا، روی محیط سابورو دکستروز مایع (SDB مرک آلمان) با pH برابر ۵/۶ ± ۰/۲ کشت داده شده، تحت تاثیر غلظت‌های مختلف CO<sub>2</sub> (۳، ۵ و ۱۰ درصد) و هر بار در فاصله‌ی زمانی (۲، ۴ و ۷ روزه) در انکوباتور CO<sub>2</sub> دار و کشت‌های کنترل (بدون CO<sub>2</sub>) در فاصله‌ی زمانی ۷ روزه در انکوباتور ساده با دمای ثابت ۲۵ درجه‌ی سانتی‌گراد انکوبه شدند. سپس توده‌های میسلیومی حاصل جمع آوری شده، جهت شستشو توسط محلول فسفات بافر سالین ۱۰ درصد (1XPBS) به مدت ۵ دقیقه و برای ۲ بار سانتریفوژ شده، با استفاده از نیتروژن مایع جهت استخراج RNA Tam از آن‌ها پودر میسلیوم تهیه گردید.

واکنش زنجیره‌ای پلیمراز - نسخه برداری معکوس به طور همزمان (RT-PCR) استخراج RNA Tam از پودر میسلیومی نمونه‌های قارچی T.Ruberum و M.Canis کشت داده شده در غلظت‌های مختلف CO<sub>2</sub> (۳، ۵ و ۱۰ درصد) در فاصله‌های زمانی (۲، ۴ و ۷ روزه) و کشت‌های کنترل (بدون CO<sub>2</sub>) ۷ روزه، طبق روش گوانیدین ایزوتوپیوسیانات (MGITC) استخراج گردید. برای این منظور به طور خلاصه، به پودر میسلیومی نمونه‌های مذکور بافر گوانیدین ایزوتوپیوسیانات ۴ مولار اضافه نموده، محتویات حاصل به لوله‌ی هموژنایزر منتقل و با انجام عمل هموژنیزاسیون، تمام سلول‌های قارچی به طور کامل تخریب شدند، سپس به محلول حاصل به نسبت ۱ به ۱۰ حجم اولیه، استاتس سدیم ۳ مولار و فل اسیدی و کلروفرم اضافه شد و با ۵ دقیقه سانتریفوژ،

حدود ۳۰۰ جفت باز، انجام گرفته، پرایم‌ها توسط شرکت سینا ژن ایران و به شرح توالی زیرسترنگرددید:

Primer Dar-S1: 5' ACT ACA GCT CCG GAA  
TGT GC 3'NT: 20 OD:12

Primer Dar-As1: 5' TCG CAG GGT TAAG GAT  
ACC AC 3'NT: 20 OD: 12

با استفاده از پرایم‌های ژن Beta-Actin و cDNA نمونه قارچ‌های مزبور با غلظت‌های یکسان، دقیقاً طبق پروتکل در بنده RT-PCR، تمام مراحل انجام شده، جهت اطمینان از نتیجه‌ی کار، محصولات PCR روی ژل آگاراز ۱ درصد حاوی اتیدیوم بروماید درکنار سایز مارکر الکتروفورز شدند.

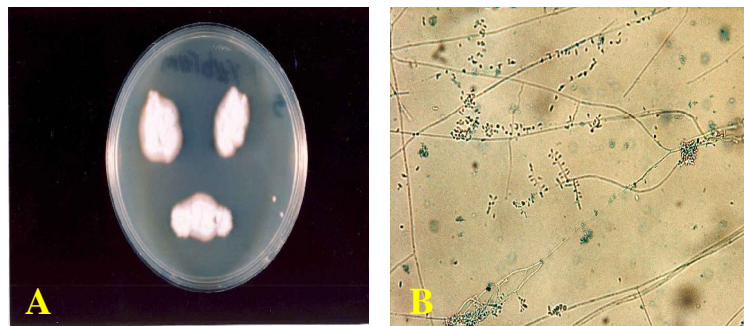
#### یافته‌ها

در بررسی نمونه‌های ایزوله شده از بیماران، *T.Rubrum* از نظر ظاهر بینی روی محیط SCC دارای کلنی، کرکی، پرزی، سفید رنگ با مرکز برآمده و چین‌دار (شکل A) و در بررسی ریز بینی لام‌های اسلاید کالچر با رنگ‌آمیزی لاکتووفل کاتن بلو، دارای میسلیوم‌های نازک با تیغه‌ی میانی و میکروکونیدیاهای کوچک و اشکی شکل به تعداد زیادی درکنار میسلوم‌ها مشاهده شده، دارای ماکروکونیدیای کم و مدادی شکل و چند خانه می‌باشد (شکل B).

در بررسی ظاهر بینی قارچ *M.Canis* روی محیط SCC دارای کلنی، کرکی با شیارهای شعاعی، پرزی سفید تا زرد روشن با رشتہ‌های هوایی (شکل ۲A) و با بررسی لام‌های رنگ‌آمیزی شده طبق روش بالا از نظر ریزبینی، دارای میسلیوم‌های نازک با تیغه میانی و ماکروکونیدیا های دوکی شکل با جدار ناصاف، خاردار و با زایده‌ی انتهایی پستانی شکل با ۱۵تا ۳۱ سلول می‌باشند و میکروکونیدیا ها ریز و کمتر از ماکروکونیدیا در کنار میسلیوم دیده می‌شوند (شکل ۲B).

و ۱ میکرولیتر از dNTP Mix و ۱ میکرولیتر از Taq DNA پلی مراز (سینا ژن ایران) و آب مقطر استریل بود که در انتهای هر واکنش به میزان ۵۰۰ نانو گرم بر میکرولیتر از cDNA های مذکور اضافه شد. واکنش PCR جهت تکثیر ژن HSP70 توسط دستگاه Termal Cycler (آلمانی) برای ۳۵ دور انجام شد. هر سیکل شامل سه حرارت، ۹۴ درجه‌ی سانتی‌گراد برای ۱ دقیقه، ۵۸ درجه‌ی سانتی‌گراد برای ۳۰ ثانیه و ۷۲ درجه‌ی سانتی‌گراد برای ۲ دقیقه بود. برای واسرشته سازی اولیه (Denaturation)، نمونه‌ها به مدت ۵ دقیقه برای یک دور در حرارت ۹۴ درجه‌ی سانتی‌گراد قرار داده شدند و در انتهای نمونه‌ها برای یک دور به مدت ۵ دقیقه در حرارت ۷۲ درجه‌ی سانتی‌گراد قرار گرفتند.

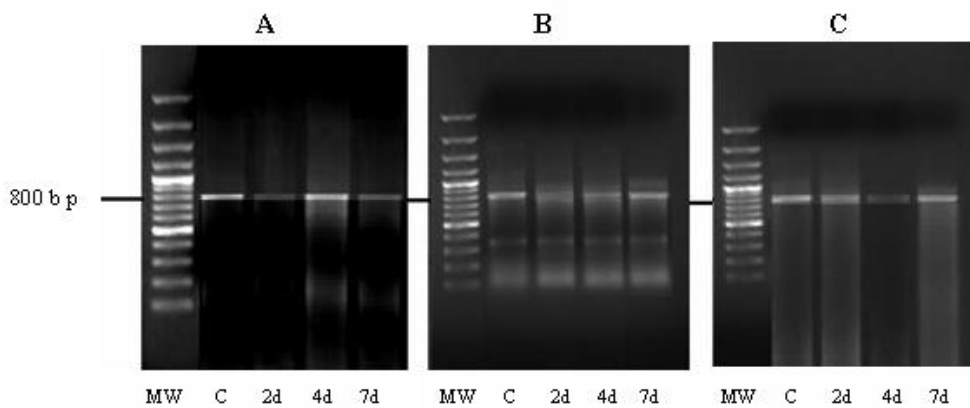
**بیان ژن HSP70:** به منظور سنجش بیان ژن HSP70 در قارچ‌های *T.Rubrum* و *M.Canis* که از طریق RT-PCR کیفی انجام پذیرفته بود، به میزان ۵ میکرولیتر از محصولات PCR درکنار سایز مارکر 100 bpDNA Ladder Plus (شرکت فرمتاز)، روی ژل آگاراز ۱ درصد حاوی اتیدیوم بروماید الکتروفورز شدند و سپس با استفاده از دستگاه (UK, Syngene) Tran Illuminator عکس‌برداری شدند و میزان بیان ژن‌ها در نمونه‌های مزبور براساس قدرت روشنایی (میزان شدت رنگ ایجاد شده بین اتیدیوم بروماید و DNA) باندهای حاصل در الکتروفورز، به عنوان معیاری جهت سنجش افزایش، کاهش و یا ثبات بیان ژن HSP70 در قارچ‌های ذکر شده، مورد استفاده قرار گرفت. به منظور کنترل عمل بیان ژن HSP70 در قارچ‌های مزبور، تحت شرایط و براساس روش گفته شده در بالا، از یک ژن با قابلیت ثبات در شرایط مختلف (House Keeping Gene) بود استفاده گردید. این ژن Beta-Actin در قارچ *T.Rubrum* بود که طراحی پرایم از روی ژن موجود در Gen Bank بهشماره AY525329 و برای تکثیر قطعه‌ی ژنی به بزرگی



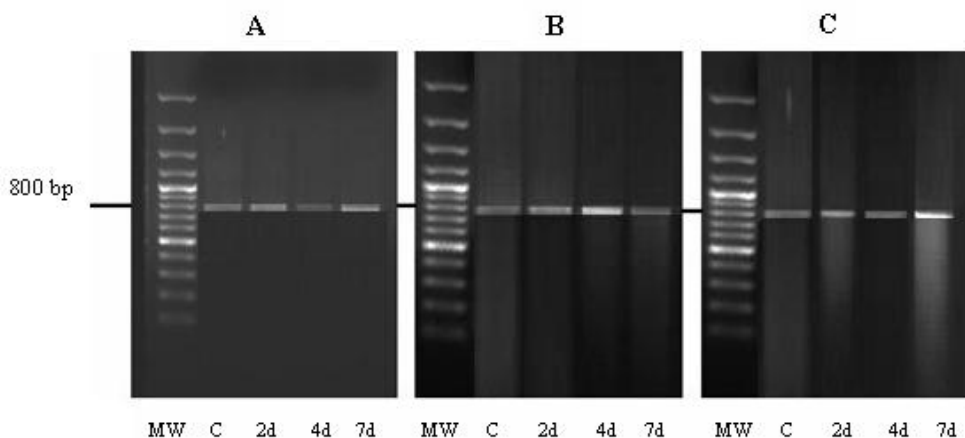
شکل ۱: بررسی ظاهر بینی و ریز بینی قارچ تراکنوفایتون روبروم *T.Rubrum* A سطح کلی در محیط کشت SCC  
منظره‌ی ریزبینی *T.Rubrum* B با درشت نمایی ۴۰۰



شکل ۲: بررسی ظاهر بینی و ریز بینی قارچ میکروسپوروم کانیس *M.Canis* A سطح کلی در محیط کشت SCC  
منظره‌ی ریزبینی قارچ *M.Canis* B با درشت نمایی ۴۰۰

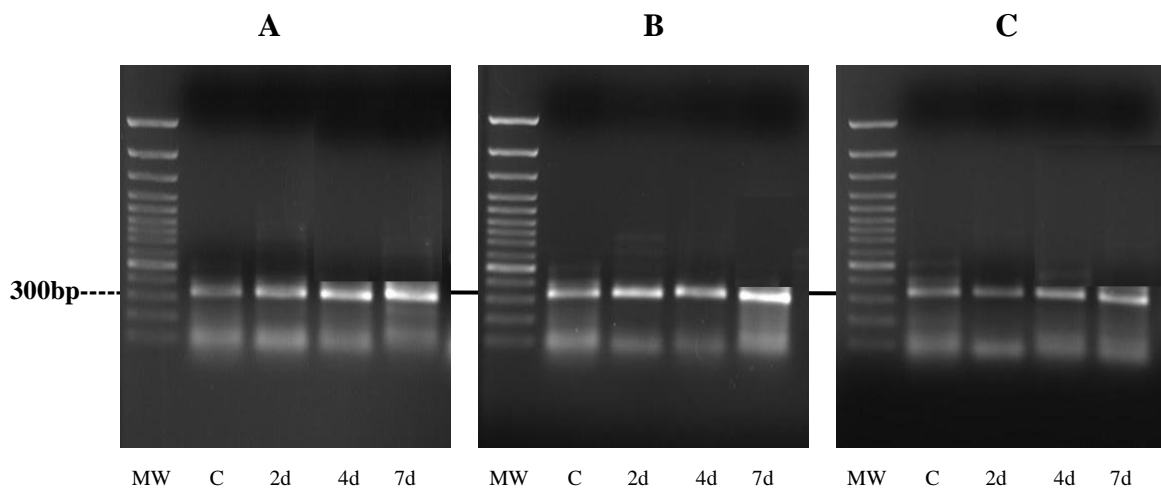


شکل ۳: RT-PCR کیفی در بیان ژن *HSP70* در قارچ *T.Rubrum*، در بررسی تاثیر غلظت‌های مختلف  $CO_2$  و کشت کنترل بدون  $CO_2$  (C) در فاصله‌ی زمانی ۲ روزه (2d)، ۴ روزه (4d) و ۷ روزه (7d) A: تکثیر قطعه‌ی اختصاصی (100 bp) ژن *HSP70* در  $CO_2$  در مقایسه با کنترل، B: تکثیر قطعه‌ی اختصاصی (100 bp) ژن *HSP70* در  $CO_2$  در مقایسه با کنترل، C: تکثیر قطعه‌ی اختصاصی (100 bp) ژن *HSP70* در  $CO_2$  در مقایسه با کنترل ۵٪ در مقایسه با کنترل، C: تکثیر قطعه‌ی اختصاصی (100 bp) ژن *HSP70* در  $CO_2$  در مقایسه با کنترل ۱۰٪ در مقایسه با کنترل (MW = سایز مارکر، نشان‌گر وزن مولکولی استاندارد)



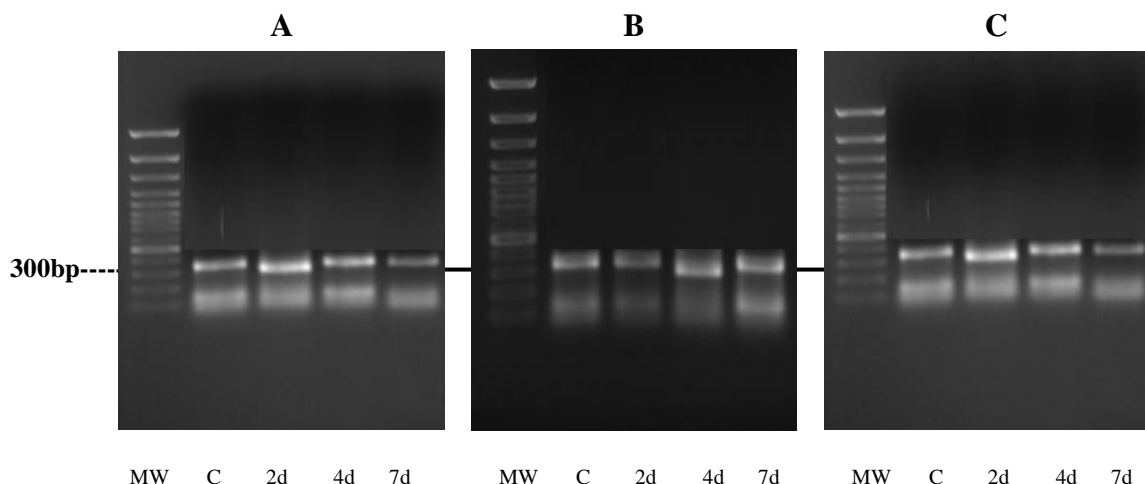
شکل ۴: کیفیت RT-PCR در بیان ژن *HSP70* در قارچ *M. Canis*، در بررسی تأثیر غلظت‌های مختلف  $CO_2$  و کشت کنترل بدون  $CO_2$  در فاصله‌ی زمانی ۲ روزه ( $2d$ )، ۴ روزه ( $4d$ ) و ۷ روزه ( $7d$ )

A: تکثیر قطعه‌ی اختصاصی ( $100\text{ bp}$ ) ژن *HSP70* در  $CO_2$  ۳٪ در مقایسه با کنترل، B: تکثیر قطعه‌ی اختصاصی ( $100\text{ bp}$ ) ژن *HSP70* در  $CO_2$  ۵٪ در مقایسه با کنترل، C: تکثیر قطعه‌ی اختصاصی ( $100\text{ bp}$ ) ژن *HSP70* در  $CO_2$  ۱۰٪ در مقایسه با کنترل  
( $=$  سایز مارکر، نشانگر وزن مولکولی استاندارد)



شکل ۵: سنجش بیان ژن *Beta-actin* در *T. Rubrum* با غلظت‌های مختلف  $CO_2$  و کشت کنترل بدون  $CO_2$  (C) در فاصله‌ی زمانی ۲ روزه ( $2d$ )، ۴ روزه ( $4d$ ) و ۷ روزه ( $7d$ )، با استفاده از پرایمرهای *Dar S1, AS1*

A: تکثیر قطعه‌ی اختصاصی ( $300\text{ bp}$ ) ژن *Beta-actin* در  $CO_2$  ۳٪ در مقایسه با کنترل، B: تکثیر قطعه‌ی اختصاصی ( $300\text{ bp}$ ) ژن *Beta-actin* در  $CO_2$  ۵٪ در مقایسه با کنترل، C: تکثیر قطعه‌ی اختصاصی ( $300\text{ bp}$ ) ژن *Beta-actin* در  $CO_2$  ۱۰٪ در مقایسه با کنترل  
( $=$  سایز مارکر، نشانگر وزن مولکولی استاندارد)



شکل عز سنجش بیان ژن *Beta-actin* در *M. Canis* با غلظت های مختلف  $CO_2$  و کشت کنترل بدون  $CO_2$  (C) در فاصله زمانی ۷ روزه (2d)، ۴ روزه (4d) و ۲ روزه (7d)، با استفاده از پرایمرهای *Dar S1, AS1*  
 A: تکثیر قطعه انتخابی (300 bp) ژن *Beta-actin* در مقایسه با کنترل، B: تکثیر قطعه انتخابی (300 bp) ژن *Beta-actin* در مقایسه با کنترل، C: تکثیر قطعه انتخابی (300 bp) ژن *Beta-actin* در مقایسه با کنترل (5% در مقایسه با کنترل، 10% در مقایسه با کنترل)  
 کنترل (MW = سایز مارکر، نشانگر وزن مولکولی استاندارد)

مشاهده گردید، به نحوی که حداقل میزان بیان ژن نسبت به کنترل در روز چهارم بود که پس از آن مشابه با شرایط ملاحظه شده در غلظت ۵ درصد، افزایش بیان پس از هفت روز به طور قابل ملاحظه ای افزایش را نشان داد (شکل ۳). با توجه به تغییرات و کاهش بیان ژن در تمامی سطوح نسبت به کنترل، به طور نسبی حداکثر این کاهش در انکوباسیون با غلظت های ۳ و ۵ درصد از  $CO_2$  مشاهده گردید. در غلظت ۳ درصد از  $CO_2$  تحت غلظت *M. Canis*، بعد از دو روز نسبت به کنترل افزایش بیان ژن مشاهده شد که این افزایش در فاصله زمانی چهار روز کاهش یافته، پس از هفت روز در فاصله زمانی ۱۰ روز کاهش یافت (شکل ۴A). در انکوباسیون با غلظت ۵ درصد از  $CO_2$ ، بعد از دو روز نسبت به کنترل میزان مشابه با کنترل را نشان داد (شکل ۴B). تغییرات اکنوباسیون به حداکثر خود رسید. پس از هفت روز، نسبت به چهار روز اندکی کاهش را نشان می داد (شکل ۴C).

**RT-PCR:** با توجه به اهمیت موضوع یعنی بررسی بیان ژن HSP70 در سلول های قارچی، اثر غلظت های مختلف  $CO_2$  (۳، ۵ و ۱۰ درصد) در فاصله های زمانی (۲، ۴ و ۷ روزه) در کنار کشت های کنترل (بدون  $CO_2$ ) در فاصله زمانی ۷ روزه در بیان ژن و میزان تغییرات معین شد. با استفاده از RT-PCR کیفی، مشخص شد تکثیر بخش های مختلف ژن HSP70 و بیان ژن در قارچ *T. Rubrum* تحت غلظت ۳ درصد از  $CO_2$ ، روز دوم نسبت به کنترل یک کاهش شدید را نشان داد، که با اندکی افزایش بیان طی روزهای چهارم و هفتم یک روند ثابت در بیان ژن دیده شد (شکل ۳A). در انکوباسیون با غلظت ۵ درصد از  $CO_2$ ، روز دوم نسبت به کنترل کاهش بیان ژن مشاهده شده، بیان ژن از روز چهارم تا هفتم یک روند صعودی را نشان می داد (شکل ۳B). در شرایط انکوباسیون با غلظت ۱۰ درصد از  $CO_2$ ، روز دوم نسبت به کنترل مجدد کاهش بیان ژن با شتابی ملایم تر

توجه به نقش حیاتی ذکر شده در مورد CO<sub>2</sub> و نقش بیماری‌زایی آن تحقیقات نشان داده وجود CO<sub>2</sub> در طول عفونت با باکتری پاتوژنیک باسیلوس آنتراسیس (*Bacillus Anthracis*)، آنرا وادر به تولید کپسول (Anti Phagocytose) پلی‌ساقاریدی ضد فاگوسیتوز (Anti Phagocytose) می‌کند، و همچنین عميقاً رشد و دگرگونی قارچ‌های پاتوژن، شامل کاندیدا آلبیکنس و کریپتوکوس نئوفرمنس (*Cryptococcus Neoformans*) را تحت تأثیر قرار می‌دهد (۲۱-۲۴). همچنین بررسی‌ها نشان داده که ماکریم تشكیل آرتروکونید (*T. Rubrum*) در Arthroconidia تحت تأثیر ۱۰ درصد از غلظت CO<sub>2</sub> به مدت ۱۰ روز بوده است (۲۵). با بررسی نتیجه‌ی RT-PCR کیفی، از محلول‌های ۱۰۰ bp DNA ladder Plus حاصله در کنار سایز مارکر ۸۰۰ bp، متعلق به یک و مشاهده‌ی باندهایی با اندازه‌ی ۸۰۰ bp، متعلق به یک قطعه‌ی ژنی با همین تعداد جفت باز نوکلئوتیدی در نمونه‌های مزبور، نشان داده شد که باندهای مربوط به بیان ژن *M.Canis*, *T.Rubrum* HSP70 در قارچ‌های درماتوفیت تحت شرایط ذکر شده یکسان نبوده، با بررسی باندهای حاصله نتایج متفاوتی حاصل گردید.

همانطوری که در شکل‌های ۳ نشان داده شده است در تمامی سطوح مشهود بود که می‌توان چنین نتیجه‌ی گرفت که بیان ژن HSP70 می‌تواند تحت شرایط انکوباسیون با CO<sub>2</sub> تغییر کند که این تغییر در مورد قارچ *T.Rubrum* سیر نسبتاً نزولی را نشان می‌داد. اما چنان که در شکل‌های ۴ مشاهده می‌شود، این تغییرات در مورد *M.Canis* بر خلاف *T.Rubrum* سیر تقریباً صعودی داشته است که چنین تغییراتی می‌تواند در درجه‌ی اول، با توجه به افزایش و کاهش متنابض بیان ژن در انکوباسیون با غلظت‌های مختلف CO<sub>2</sub> گویای بروز تغییراتی در بیان ژن و همچنین نشان دهنده افزایش بیان ژن HSP70 در قارچ *M.Canis* در مجاورت

بیان ژن در غلظت ۱۰ درصد از CO<sub>2</sub> نیز مشاهده گردید، به نحوی که بعد از دو روز نسبت به کنترل افزایش بیان ژن و در فاصله‌ی چهار روز انکوباسیون بیان ژن تقریباً به میزان کنترل کاهش یافته، سپس بعد از هفت روز انکوباسیون مجدداً افزایش بیان ژن مشاهده گردید (شکل C). با توجه به مشاهدات و افزایش بیان ژن در تمامی سطوح نسبت به کنترل، به طور نسبی حداقل این افزایش در انکوباسیون با غلظت ۱۰ درصد از CO<sub>2</sub> در حداقل فاصله زمانی نسبت به کنترل مشاهده گردید.

### بحث

در سال‌های اخیر تحقیقات نسبتاً وسیعی بر روی جنبه‌های مولکولی قارچ‌های *M.Canis* و *T.Rubrum* انجام گرفته است که از آن جمله می‌توان بررسی‌های مربوط به پروتئین‌های شوک حرارتی HSP70 را نام برد. همچنین، تحقیقات وسیعی روی ژن مربوط به تولید، پروتئین‌های شوک حرارتی HSP70 و عوامل موثر در افزایش بیان ژن مزبور در موجودات زنده مختلف از جمله قارچ‌ها انجام گرفته است. رضایی و همکاران مشخص نموده اند که میزان بیان ژن Tr HSP70 در شوک دمایی ۳۷ درجه‌ی سانتی‌گراد و تحت اشعه‌ی ماورای بنفش افزایش یافته، ژن مربوط Mc HSP70 نیز شناسایی و تعیین توالی گردیده است (۱۶-۱۴). تحقیقات دیگری نشان می‌دهد که میزان بیان ژن HSP70 در کاندیدا آلبیکنس (*Candida Albicans*) و ساکارومیسس سرویزیه (*Saccharomyces Cerevisiae*) دمایی افزایش می‌یابد (۱۹ و ۱۸) و پارک و همکاران نشان داده‌اند که وقتی به وسیله‌ی شوک حرارتی میزان بیان HSP70 را در رده‌ی سلولی ملانومای انسانی افزایش دهند، این سلول‌ها نسبت به روند مرگ طبیعی سلول (Apoptosis UV مقاوم می‌شوند (۲۰)). با

آنجایی که، این تحقیق در جای خود به عنوان اولین مطالعه‌ی جامع و بنیادی در تاثیر گذاری غلظت‌های مختلف گاز  $\text{CO}_2$  بر قارچ‌های درماتوفیت می‌باشد، انجام مطالعات و بررسی‌های تکمیلی پیشنهاد می‌گردد.

### نتیجه‌گیری

با توجه به داده‌های به دست آمده نتایج این تحقیق نشان می‌دهد که میزان بیان ژن HSP70 در قارچ‌های *M.Canis* و *T.Rubrum* تحت اثر گاز  $\text{CO}_2$  تغییر نموده، این تغییر می‌تواند تابعی از غلظت‌های مختلف مورد استفاده باشد و عدم تشابه در تغییرات بیان ژن HSP70 ما بین دو قارچ مذکور می‌تواند به علت تفاوت‌های مورفولوژیکی (سرعت رشد، مشخصات کوبنده‌ها و ساختمنهای رویشی)، فیزیولوژیکی و متابولیکی (تغذیه، ایجاد فلورسانس، سوراخ کردن مو، ایجاد رنگدانه در محیط کشت و قدرت بیماری‌زای) این درماتوفیت‌ها بوده که به نوبه خود می‌توانند بر روی میزان تاثیرپذیری و مطابقت با شرایط  $\text{CO}_2$  دار در قارچ‌ها اثر بگذارد و از آنجایی که بررسی‌ها نشان داد، میزان بیان ژن Beta-Actin در قارچ‌های مذکور تحت تاثیر غلظت‌های مختلف  $\text{CO}_2$  تغییر نمی‌نماید و این عدم تغییر می‌تواند نمایان‌گر قابل اعتماد بودن میزان بیان ژن HSP70 مطرح شده در نتایج به دست آمده از قارچ‌های مذبور باشد.

$\text{CO}_2$  بوده باشد. همان‌طوری که ذکر شد، به منظور اثبات بروز تغییرات ذکر شده در بیان ژن HSP70 در مجاورت  $\text{CO}_2$  و نیز اثبات تساوی در میزان cDNA استفاده شده در آزمایش RT-PCR کیفی، از یک ژن ثابت در قارچ‌های Beta-Actin به نام (House keeping Gene) مذبور استفاده گردید و برابر با آنچه که قبلاً گفته شد آزمایش RT-PCR برای تمامی شرایط ذکر شده در انکوباسیون با غلظت‌های مختلف  $\text{CO}_2$  (۵، ۱۰ و ۲۰ درصد) در فاصله‌های زمانی (۴، ۷ و ۲ روزه) و کشت‌های کنترل (بدون  $\text{CO}_2$ ) در فاصله‌ی زمانی (۷ روزه) و با استفاده از پرایمرهای اختصاصی ژن Beta-Actin تکرار گردید که نتایج آن به صورت باندهای یکسان نشان دهنده عدم تغییر و تساوی بیان ژن مذکور در قارچ‌های *M.Canis* و *T.Rubrum* در شرایط مختلف از انکوباسیون با  $\text{CO}_2$  نسبت به کنترل بوده است (شکل‌های عو۵). با توجه به مطالب و نتایج گفته شده در این بحث چنین بر می‌آید که می‌توان از آن‌ها برای به دست آوردن اطلاعات بیشتر، در زمینه‌های نحوه‌ی عملکرد HSP70 در قارچ‌های درماتوفیت مختلف و بررسی تفاوت‌های حاصله بین آن‌ها، بررسی نحوه‌ی تاثیر گذاری  $\text{CO}_2$  بر روی قارچ‌ها (mekanisms از طریق pH یا مکانیسم‌های دیگری نظیر تنفس سلولی) و احتمال شروع روند مرگ طبیعی سلول (Apoptosis) بر اثر  $\text{CO}_2$  که می‌تواند اساسی برای استفاده از  $\text{CO}_2$  تراپی در عفونت‌های جلدی مزمن قارچی باشد. از

### References

- Rippon JW. Medical mycology. dermatophytosis and dermatomysosis. Philadelphia, WB: sounders company; 1988.
- Brasch J. Pathogenesis of tinea. *J Dtsch Dermatol Ges.* 2010; 8: 780-6.

- Havlickova B, Czaika VA, Friedrich M. Epidemiological trends in skin mycoses worldwide. *Mycoses.* 2009; 52: 95.
- Rodríguez-Pazos L, Pereiro-Ferreirós MM, Pereiro M Jr, Toribio J. Onychomycosis observed

- in children over a 20-year period. *Mycoses*. 2010; (Epubahead of print).
- 5- Anzawa K, Kawasaki M, Mochizuki T, Ishizaki H. Successful mating of *Trichophyton rubrum* with *Arthroderma simii*. *Med Mycol.* 2010; 48: 629-34.
- 6- Baldo A, Tabart J, Vermout S, et al. Secreted subtilisins of *Microsporum canis* are involved in adherence of arthroconidia to feline corneocytes. *J Med Microbiol.* 2008; 57: 1152-6.
- 7- Bahn YS, Mühlischlegel FA. CO<sub>2</sub> sensing in fungi and beyond. *Curr Opin Microbiol.* 2006. 11; 9: 572-8.
- 8- Seo DC, DeLaune RD. Effect of redox conditions on bacterial and fungal biomass and carbon dioxide production in Louisiana coastal swamp forest sediment. *Science of the total environment.* 2010; 408: 3623-31.
- 9- He Z, Xu M, Deng Y, et al. Metagenomic analysis reveals a marked divergence in the structure of belowground microbial communities at elevated CO<sub>2</sub>. *Ecology Letters.* 2010; 13: 564-75.
- 10- Supuran CT. Carbonic anhydrase inhibitors. *Bioorg Med Chem Lett.* 2010; 20: 3467-74.
- 11- Bahn YS, Cox GM, Perfect JR, Heitman J. Carbonic anhydrase and CO<sub>2</sub> sensing during *Cryptococcus neoformans* growth, differentiation, and virulence. *Curr Biol.* 2005; 15: 2013-20.
- 12- Dancsó B, Spiró Z, Arslan MA, Nguyen MT, et al. The heat shock connection of metabolic stress and dietary restriction. *Curr Pharm Biotechnol.* 2010; 11: 13q-45.
- 13- Benjamin IJ, McMillan DR. Stress (heat shock) proteins: molecular chaperones in cardiovascular biology and disease. *Circ Res.* 1998; 83: 117-32.
- 14- Rezaie S, Ban J, Mildner M, Poitschek C, et al. Characterization of a cDNA clone, encoding a 70 kDa heat shock protein from the dermatophyte pathogen *Trichophyton Rubrum Gene.* 2000; 241: 27-33.
- 15- Soleimanifar F. Study the existence of HSP70 gene in the pathogenic fungus *Microsporum canis*. [Dissertation]. Tehran: Islamic Azad University, North Tehran; 2003.
- 16- Abtin R. Study the effects of UV radiation on TrHSP70 gene in the fungus *Trichophyton rubrum*. [Dissertation]. Tehran: Islamic Azad University, North Tehran; 2001.
- 17- Lee JS, Seo JS. Differential expression of two stress-inducible HSP70 genes by various stressors. *Exp Mol Med.* 2002; 34: 131-6.
- 18- Reidy M, Masison DC. Sti1 regulation of Hsp70 and Hsp90 is critical for curing of *Saccharomyces cerevisiae* [PSI<sup>+</sup>] prions by Hsp104. *Mol Cell Biol.* 2010; 30: 3542-52.
- 19- Sandini S, Melchionna R, Bromuro C, La Valle. Gene expression of 70 kDa heat shock protein of *Candida albicans*: transcriptional activation and response to heat shock. *Med Mycol.* 2002; 40: 471-8.
- 20- Park KC, Kim DS, Choi HO, Kim KH, et al. Overexpression of HSP70 prevents ultraviolet B-induced apoptosis of a human melanoma cell line. *Arch Dermatol Res.* 2000; 292: 482-7.

- 21- Kim MS, Ko YJ, Maeng S, Floyd A, Heitman J, Bahn YS. Comparative transcriptome analysis of the CO<sub>2</sub> sensing pathway via differential expression of carbonic anhydrase in *Cryptococcus neoformans*. *Genetics*. 2010; 185: 1207-19.
- 22- Bahn YS, Molenda M, Staab JF, Lyman CA, Gordon LJ, Sundstrom P. Genome-wide transcriptional profiling of the cyclic AMP-dependent signaling pathway during morphogenic transitions of *Candida albicans*. *Eukaryot Cell*. 2007; 6: 2376-90.
- 23- Sheth CC, Johnson E, Baker ME, Haynes K, Mühlischlegel FA .Phenotypic identification of *Candida albicans* by growth on chocolate agar. *Med Mycol*. 2005; 43: 735-8.
- 24- Klengel T, Liang WJ, Chaloupka J, Ruoff C, et al. Fungal adenylyl cyclase integrates CO<sub>2</sub> sensing with cAMP signaling and virulence. *Curr Biol*. 2005; 15: 2021-6.
- 25- Yazdanparast SA, Barton RC. Arthroconidia production in *Trichophyton rubrum* and a new ex vivo model of onychomycosis. *J Med Microbiol*. 2006; 55: 1577-81.

## The Effect of Variable CO<sub>2</sub> Concentrations on HSP70 Gene in *Trichophyton Rubrum* and *Microsporum Canis*

Darabian S<sup>1</sup>, Rezaie S<sup>2</sup>, Kordbachche P<sup>2</sup>, Safari MR<sup>2</sup>

<sup>1</sup>School of Medicine, Zanjan University of Medical Sciences, Zanjan, Iran

<sup>2</sup>Division of Molecular Biology, Dept. of Medical Mycology & Parasitology, School of Public Health, Tehran University of Medical Sciences, Tehran, Iran

**Corresponding Author:** Darabian S, School of Medicine, Zanjan University of Medical Sciences, Zanjan, Iran

**Email:** dsima2004@yahoo.com

**Received:** 1 Mar 2010    **Accepted:** 28 Dec 2010

**Background and Objectives:** *Trichophyton rubrum* is considered as the most common causes of dermatophytosis in human skin and nail tissues. *Microsporum canis* is a zoophile dermatophyte which can be transmitted to human. HSP70 is a 70 KD heat shock protein in fungi. In this study, the effects of variable CO<sub>2</sub> concentrations were examined on HSP70 expression in *T. rubrum* and *M. canis*.

**Materials and Methods:** Strains used in this study were obtained from skin scales and nails of the patients who were suffering from onychomycosis. Samples were cultured on Sabouraud dextrose broth (SDB) and incubated at 25°C for 2, 4 and 7 days under 3%, 5%, and 10% of CO<sub>2</sub> concentrations. Control cultures maintained for 7 days without CO<sub>2</sub> concentrations. Then, RNA was isolated from the harvested mycelia mass, and HSP70 gene expression was studied in *T. rubrum* and *M. canis* by RT-PCR. The obtained results were compared to the Beta actin as a house keeping gene.

**Results:** The results of this study revealed the maximum variations under 3%, 5%, and 10% of CO<sub>2</sub> concentrations in maximum 7 days incubation period, and the expression of HSP70 gene showed different variations under different CO<sub>2</sub> concentrations.

**Conclusion:** Our results showed a negative effect of CO<sub>2</sub> concentrations in the expression of HSP70 in *T. Rubrum* and a positive effect in *M. canis* comparing to the controls.

**Keywords:** Dermatophyte, *Trichophyton rubrum*, *Microsporum canis*, HSP70 Gene